

I-9 透過性構造物内 ($\lambda_L=10$) の波の運動に関する研究。(2)
— 特に $\frac{d\eta}{dx} = F(x)$ の考察について。—

山口大学工学部 正会員 金山 和雄
日本国有鉄道 正会員 ○有木 敏幸
山口大学工学部 正会員 藤原 譲

1 まえがき わが国の海岸には数多くの透過性の構造物が見られる。消波工、離岸堤、滑堤などである。私達はこれらの構造物のうち水流を容易に透過させる、いわゆる透過性の構造物について研究を進めた。これらに関する多くの研究が見られる様になったが、実験を主としたものが多い様である。これらの構造物に流れ入射すれば構造物内部の水流はもはや透水係数の概念では説明できない乱流状態を呈するものと言える。そこで抵抗係数の概念を導入して透水体内部の波を抵抗を受けながら進行する波とおぼかして以下の理論を展開した。特に抵抗係数が場所的に変化する事を考慮してその函数形を決定し興味ある結果を得たのでここに報告する。

2 理論的考察 原標を Fig. 1 の様に定義する。

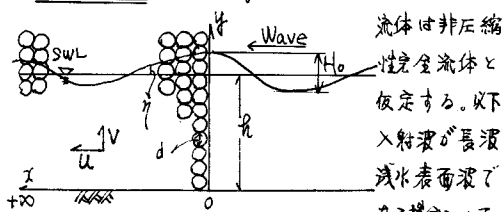


Fig. 1. Notation and definition of symbols.

2-1 入射波が長波の場合。

運動方程式、連続の式は以下のようにある。

$$\frac{\partial U}{\partial t} = -g \frac{\partial \eta}{\partial x} - f U \quad (1), \quad \frac{\partial \eta}{\partial t} + h \frac{\partial U}{\partial x} = 0 \quad (2).$$

ここで g は重力加速度、 f は抵抗係数である。一般に f は x の函数であるが解析的に解くために $f = \text{const}$ として解く、それを $f = F(U)$ の場合まで拡張して考察する。

(1), (2) 式を境界条件

$$\eta = 0 \quad \text{at } x = 0, \quad \eta = \frac{H_0}{2} e^{j\omega t}, \quad \eta = \infty \quad \text{at } x = \infty \quad \eta = 0 \quad (3).$$

の下で解くと η , U , V に対して次式を得る。

$$\eta = \frac{H_0}{2} e^{-j\omega x} \sin(\omega t - nx) \quad (4).$$

$$U = \frac{H_0 \delta}{2} e^{-j\omega x} \sin\left(\omega t + \frac{\alpha}{2} - nx\right) \quad (5).$$

$$V = \frac{H_0 \delta}{2} \gamma e^{-j\omega x} \cos(\omega t - nx) \quad (6).$$

$$m = \sqrt{\frac{\delta^2}{2gh}} \sqrt{1 + \left(\frac{f}{\delta}\right)^2} \mp 1 \quad (7).$$

$$\alpha = \tan^{-1}(m/n) \quad (8).$$

*一般の波と同様にすなはち透水体内の水粒子の軌跡も容易に求められる(スライドにて示す)。

2-2 入射波が浅水表面波の場合。

ここで y, z, t の函数となるため (1), (2) 式は成立せず U を用い $U = U \sinh ny / \sinh nh$ である。

長波の場合と同様に考えると η , U , V に対して次式を得る。
 $\eta = \frac{H_0}{2} e^{-j\omega x} \sin(\omega t - nx)$.

$$U = \frac{H_0 \delta n e^{-j\omega x}}{2(n^2 + m^2)} \frac{\cosh ny}{\sinh nh} [m \cos(\omega t - nx) + n \sin(\omega t - nx)] \quad (11)$$

$$V = \frac{H_0 \delta}{2} e^{-j\omega x} \frac{\sinh ny}{\sinh nh} \cos(\omega t - nx) \quad (12).$$

次に上式を用いて Longuet-Higgins の質量輸送速度理論を展開すれば透水体内部の質量輸送速度も容易に導かれ。水粒子の軌跡と並んでスライドを用いて示す。

3 実験的考察

3-1 実験装置とその方法 実験に用いた造波機はラウル一型で水槽の大きさは $0.7 \times 0.7 \times 2.0 M$ である。

波高計は容量型のもので水面変位を 6 チャンネル 1 ポンポン口に記録させた。実験に供したガラス球は 3 種類、前面水深、入射波 H_0 は下表のようである。(詳細は省略する)

ガラス球直徑	1.2 cm	1.6 cm	2.3 cm
前面水深	35 cm	30 cm	25 cm
入射波 H_0	0.008 ~ 0.106		
実験総数	600		

2-2 抵抗係数 α の決定。抵抗に寄与する量を透水体内部における実験値と(4)式により決定し、それと β 、 γ 等との関係を考慮し最終的に最適無次元値として $H^2/\beta d^2$ を得た。こより m の関係を示したもののがFig-2である。

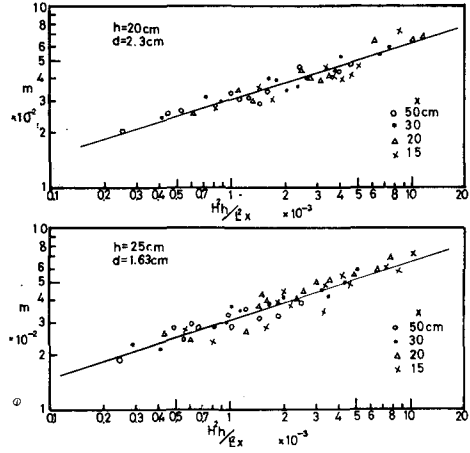


Fig-2 Relationship between m and $H^2/\beta d^2$

これによると両対数紙上ではほぼ直線関係にある事より両者の関係は次式と近似できる。

$$m = \alpha X^\beta \quad X = H^2/\beta d^2 \quad (43)$$

次に各 α 、 β と各物理量との関係を考察しFig-3を得た。Fig-3より α 、 β に12次式を得る。

$$\alpha = 0.008133(\frac{\beta}{d}) + 0.2501, \quad (44)$$

$$\beta = 0.002562(\frac{\beta}{d}) + 0.2861, \quad (45)$$

$$\frac{f}{f_0} = \sqrt{1 + \frac{2gh}{\delta^2} m^2 + 1.0} - 1.0 \quad \text{ただし波高} H_0, \text{水深} h, \text{直径} d$$

L, T が与えられれば場所的変化を考慮した抵抗係数 α

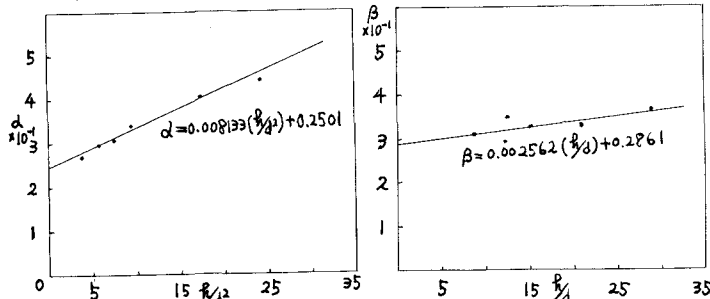


Fig-3 Relationship between α , β , f/f_0 and β/d .

一義的に求められ、透水体内的水理諸量が計算される。

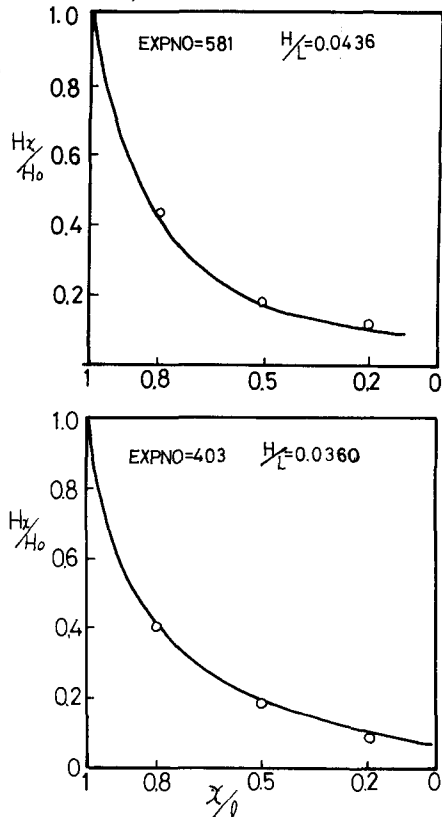


Fig-4 Relationship between H^2/H_0 and γ_L .

Fig-4は先に求めた抵抗係数 α (4)式に用いた透水体内の面積率 γ_L を計算し波高の減衰を出し実験値と対比したものである。これらより沿岸勾配の大きさによって理論と実験は非常に良く対応する事が言える。紙面の都合上計算の一例のみ示したが、対応が良好である事から他の水理諸量も精度良く推算できる。

そちらについてはスライドを用いて説明する。

4. まとめ

この研究の次の実験結果を得た。

- (1) 場所的変化を考慮した特定状態の下での透水体の流体抵抗を明らかにした。

- (2) 透水体内的水理諸量を推算できた。特に γ_L における実験値との対応が良好である。